

I-B 164 複数の拘束せん断層を装着したはりの損失係数に関する検討

山口大学工学部 学生員○樹田智子

山口大学工学部 正員 麻生稔彦

山口大学工学部 正員 會田忠義

1. まえがき

土木構造物の減衰性を向上させるために、拘束せん断層を用いたサンドイッチばりの利用が有効であると考えられる。これまでの研究により単純ばり、1次振動の場合には、はりの全長にわたり拘束せん断層を装着するよりも、部分的に装着したほうが高い損失係数となる場合があると報告されている。そこで本研究では、拘束せん断層を部分的にはりに装着した場合および拘束せん断層を複数に分割して装着した場合の損失係数を、支持条件、振動次数を変化させて検討した。

2. 拘束せん断層を複数装着した場合の損失係数の解法

拘束せん断層を基本ばりに複数（n個）装着した場合のサンドイッチばりの概要図を図-1に示す。①は高さH₁、長さlの基本ばりである。②、③はそれぞれ高さH₂、H₃のせん断層および拘束層であり、基本ばりの左端よりa_nの位置に置かれ、長さはいずれも（b_n-a_n）である。また各層の幅はいずれもBで同一とし、基本ばり、拘束層のヤング率をE₁、E₃、せん断層のせん断弾性係数をG、せん断層の材料損失係数をη_cとする。解析にあたっては次の仮定を設け

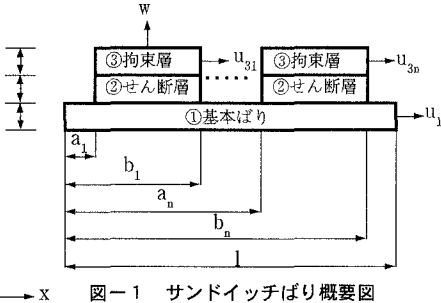


図-1 サンドイッチばり概要図

る。（1）第2層のヤング率は第1層、第3層に比べて小さく、第2層には軸力は生じない。（2）3つの層のz方向の変位wは等しい。（3）第1層、第3層のせん断変形は無視する。図-1に示したはりの損失係数ηは全ひずみエネルギーの1周期中の最大値に対するせん断層で消費されるひずみエネルギーの比として次式で表される。

$$\eta = \sum_{i=1}^n \Delta E_i / 2\pi \sum_{i=1}^n E_i \quad (1)$$

ここで、

$$\sum_{i=1}^n \Delta E_i = 2\pi \left\{ \frac{1}{2} BGH_2 \eta \sum_{i=1}^n \int_{a_i}^{b_i} |\gamma_i|^2 dx \right\} \quad (2)$$

$$\sum_{i=1}^n E_i = \frac{1}{2} E_3 BH_3 \sum_{i=1}^n \left| \frac{\partial u_3}{\partial x} \right|^2 dx + \frac{1}{2} E_1 BH_1 \sum_{i=1}^n \left| \frac{\partial u_1}{\partial x} \right|^2 dx + \frac{1}{2} \frac{E_3 BH_3^3}{12} \sum_{i=1}^n \left| \frac{\partial^2 w}{\partial x^2} \right|^2 dx + \frac{1}{2} \frac{E_1 BH_1^3}{12} \int_0^l \left| \frac{\partial^2 w}{\partial x^2} \right|^2 dx + \frac{1}{2} GBH_2 \sum_{i=1}^n \int_{a_i}^{b_i} |\gamma_i|^2 dx \quad (3)$$

(1) 式を用いて損失係数を求めるため(2)、(3)式中のはりのz方向の変位w、基本ばり、拘束層の軸方向変位u₁、u₃、せん断層のせん断ひずみγが必要となる。そこで、はりのn次の振動モードを次式で仮定する。

$$w_n = A_1 \sin \lambda_n x + A_2 \cos \lambda_n x + A_3 \sinh \lambda_n x + A_4 \cosh \lambda_n x \quad (4)$$

ここでA₁～A₄およびλ_n：はりの支持条件、振動次数による定まる定数

(4)式を用いることにより、サンドイッチ部分の力のつり合いからu₁、u₃、γは次式で与えられる。

$$u_1 = -\frac{E_3 H_3}{E_1 H_1} u_3 \quad u_3 = c_1 \cosh \sqrt{Q} x + c_2 \sinh \sqrt{Q} x + x_1 \sin \lambda_n x + x_2 \cos \lambda_n x + x_3 \sinh \lambda_n x + x_4 \cosh \lambda_n x \quad (5)$$

$$\gamma = \frac{1}{H_2} \left\{ u_3 - u_1 + \left(\frac{H_1}{2} + H_2 + \frac{H_3}{2} \right) \frac{\partial w}{\partial x} \right\} \quad (6)$$

ここで Q = $\frac{G}{H_2} \left(\frac{1}{E_1 H_1} + \frac{1}{E_3 H_3} \right)$ c₁、c₂：拘束層の両端で軸力が0となる境界条件、x₁～x₄：はりの支持条件、振動次数により定まる定数

3. 解析結果

先に示した解析法を用いて拘束せん断層を基本ばかりに複数装着した場合の損失係数の検討を行った。解析モデルの諸元を表-1に示す。諸元では形状を示すパラメーター $H_2/H_1=0.5$ 、 $H_3/H_1=0.2$ となり、基本ばかりと拘束層の弾性係数比 $E_3/E_1=1.0$ となる。ここで、解析では $\alpha=G(L/H_1)^2/E_3$ で定義される無次元量 α をパラメーターとし、本研究では表-2に示す α について検討した。以下に支持条件をピンーピンとした場合について示す。まず、拘束せん断層が基本ばかりを覆う割合（被覆率 ζ ）による損失係数 η の変化の度合いを α を変化させて調べた。結果を図-2に示す。この図より、 α の値によっては拘束せん断層を基本ばかりに部分的に装着したほうが全長にわたって装着するよりも η が大きくなっている。したがって拘束せん断層を全長にわたって装着した場合に、この拘束せん断層を分割して装着すればより大きな η が得られるのではないかと考えられる。そこで全長にわたって装着した拘束せん断層を等分割した場合の η の変化を図-3に示す。ここで、分割数1は拘束せん断層を全長にわたって装着した場合である。図より1次モードでは分割数が3のときに η が最も大きくなり、分割数が増加すると η が減少している。しかし3次モードでは1次モードのように η が極値をとるような傾向は認められない。また、3次モードでは分割数が1と3の場合に η の値が等しくなっている。この現象をひずみエネルギーから考察するために $\alpha=5.0$ の場合の結果を図-4に示す。 η の変化と比較すると伸びひずみエネルギーがせん断ひずみエネルギーよりも大きいときは η は増加し、逆の場合は減少しており、これらが交わる付近で η が最大値をとっていることがわかる。

参考文献> S. MARKUS : DAMPING MECHANISM OF BEAMS PARTIALLY COVERED BY CONSTRAINED VISCOELASTIC LAYER , ACTA TECHNICA CSAV, No. 2, pp179-194, 1974

表-1 解析モデル諸元	
基本ばかりの長さ l (m)	2.000
基本ばかりの厚さ H_1 (m)	0.010
基本ばかりの幅 B (m)	0.100
せん断層の厚さ H_2 (m)	0.005
拘束層の厚さ H_3 (m)	0.002
基本ばかりのヤング率 E_1 (Pa)	2.06×10^{11}
拘束層のヤング率 E_3 (Pa)	2.06×10^{11}
せん断層の材料損失係数 η_g	0.300

表-2 せん断弾性係数	
α	せん断弾性係数 (Pa)
0.1	5.150×10^5
0.5	2.575×10^6
1.0	5.150×10^6
5.0	2.575×10^7
10.0	5.150×10^7

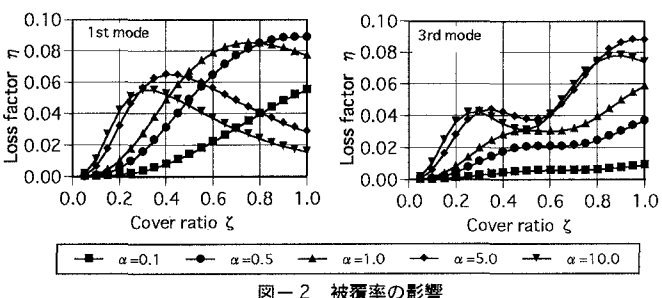


図-2 被覆率の影響

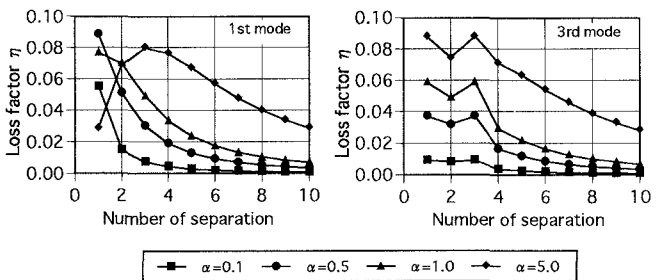


図-3 複数装着した場合の影響

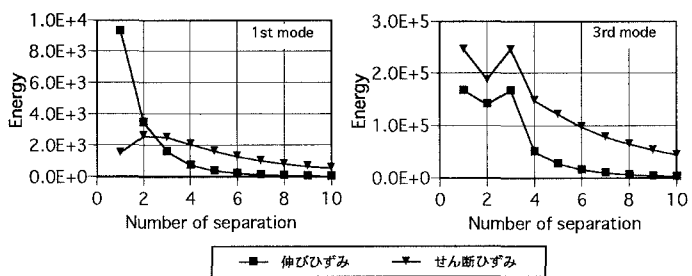


図-4 エネルギーの変化